

05.4

©1993

ВЛИЯНИЕ АЛЮМИНИЯ НА КРИСТАЛЛИЧЕСКУЮ СТРУКТУРУ И СВЕРХПРОВОДИМОСТЬ МОНОКРИСТАЛЛА $\text{EuBa}_2\text{Cu}_{2.62}\text{Al}_{0.38}\text{O}_{6.8}$

*О.А.Усов, Н.Ф.Карченко, И.В.Рождественская,
Л.С.Сапожникова, А.И.Вейнгер, С.И.Голощапов*

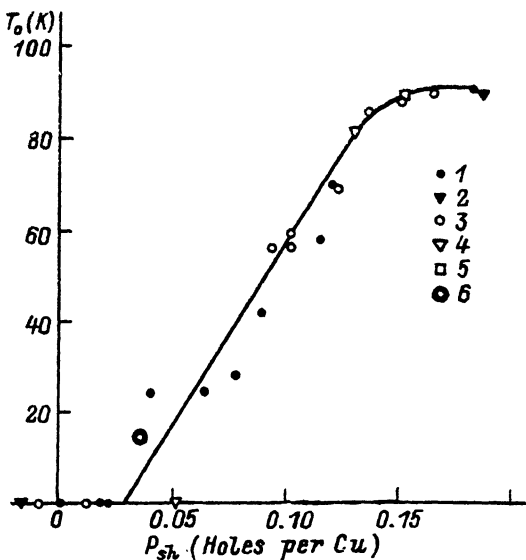
Известно, что в соединениях, изоструктурных $\text{YBa}_2\text{Cu}_3\text{O}_{7-\delta}$, сверхпроводимость и критическая температура T_c связаны с наличием подвижных дырок в CuO_2 слоях [1–3]. Полное или частичное замещение иттрия другими редкоземельными элементами, кроме Ce, Pr, Pm, Tb [4,5], оказывает незначительное влияние на кристаллическую температуру, но T_c весьма чувствительна к частичному замещению атомов меди такими элементами, как Al, Fe, Co и др. [6].

Из анализа замещений меди алюминием, изученных на монокристаллах и керамических образцах [7], известно, что T_c уменьшается с увеличением концентрации Al, симметрия кристалла из ромбической превращается в тетрагональную, хотя содержание кислорода при этом растет. В настоящей работе методами рентгеновской дифракции и модулированного микроволнового поглощения в слабых магнитных полях (ММП СМП) исследуется влияние Al на кристаллическую структуру и критическую температуру монокристаллов $\text{EuBa}_2(\text{Cu},\text{Al})_3\text{O}_{7-\delta}$. Методом сумм валентных усилий (СВУ)* дана оценка концентрации дырок в плоскости CuO_2 . Обсуждается также корреляция структурных характеристик и сверхпроводящих свойств соединений R123, где R = Y, Eu.

Черные прямоугольные пластинчатые кристаллы Eu123/Al выращены из раствора в расплаве [8] в растворителе $\text{BaO}-\text{CuO}$. Исходными реактивами были оксиды, карбонаты и нитраты Eu, Ba, Cu. Температура плавления близка к 1200° С, скорость охлаждения не превышала 2.5 град/ч. Синтез проводился в тиглях из чистого Al_2O_3 . Полученные монокристаллы отжигались в кислороде в течение 50 ч, температура отжига 350–400° С, затем медленно охлаждались. Длительность синтеза и взаимодействие с материалом тигля являются причиной внедрения Al в структуру

* В английской терминологии “bond valence sum (BVS)” [3].

полученных кристаллов. Присутствие Al в исследованных образцах подтверждено рентгеновским микрозондовым анализом. Сверхпроводимость образцов была определена методом ММП [9] в слабых магнитных полях < 50 Э на частоте 9 ГГц с помощью спектрометра типа Varian E-112. Температурные измерения в диапазоне 3–300 К проводились с помощью проточного гелиевого криостата фирмы Oxford Instruments. Погрешность определения температуры образца не превышает 2 К. Критическая температура ($T_c \approx 13.0$ К) определялась экстраполяцией к нулю производной по магнитному полю от ММП мощности [9]. Этот бесконтактный высокочувствительный к сверхпроводимости метод оказался весьма эффективным при определении T_c образцов малых размеров, используемых при рентгеноструктурных исследованиях монокристаллов. Исследуемые однодоменные монокристаллы имели размер $0.40 \times 0.13 \times 0.01$ мм. Рентгеновские измерения проведены на автоматическом дифрактометре $P2_1$ с использованием монохроматизированного MoK_α излучения. Интенсивности рефлексов измерены методом ω -сканирования до $2\Theta_{\max} = 80^\circ$ и $\sin \Theta / \lambda = 0.90 \text{ \AA}^{-1}$. Параметры ячейки уточнены на дифрактометре по 25 рефлексам в интервале углов $35^\circ < 2\Theta < 45^\circ$. В измеренные интенсивности введена поправка на дрейф прибора по интенсивности контрольного рефлекса, измеряемого после каждого 50 рефлексов. При обработке экспериментальных данных введены поправки Лорентца и на поляризацию. Поправка на поглощение введена по эмпирической кривой. Расчеты выполнены по программам типа XTL [10] на ЭВМ MicroVAX-2. Атомные факторы взяты из работы [11]. Для уточнения структуры в качестве исходных взяты координаты атомов из работы [12]. Атомы кислорода локализованы из разностного синтеза Фурье. Последовательные уточнения методом наименьших квадратов с учетом анизотропии тепловых параметров выполнены для двух пространственных групп: $Pm\bar{m}\bar{m}$, $a = 3.8978(13)$, $b = 3.9007(14)$, $c = 11.707(3) \text{ \AA}$, 569 независимых рефлекса, фактор расходимости $R = 0.075$ для 9 атомов и 38 независимых параметров; $P4/m\bar{m}\bar{m}$, $a = b = 3.8991(13)$, $c = 11.707(3) \text{ \AA}$, 338 независимых рефлексов, фактор расходимости $R = 0.078$ для 7 атомов и 25 независимых параметров. Результаты эксперимента занесены в базу данных "Inorganic Crystal Structure Database" (ICSD) под номером CSD=300218 [13]. Так как результаты уточнения в двух пространственных группах оказались близки, для дальнейшего анализа используется тетрагональная группа $P4/m\bar{m}\bar{m}$. Нумерация атомных позиций выбрана в соответствии с работой [5]. Координаты атомов, изотропные тепловые параметры приведены в табл. 1;



Зависимость T_c от концентрации дырок (p_{sh}) слоя CuO_2 . (Y123 (1) [12], (2) [16], (3) [17]; Y123/Al (4) [7]; Eu123 (5) [15], Eu123/Al (6)).

межатомные расстояния и углы для Eu123/Al и Eu123 — в табл. 2; характерные расстояния Cu—O, параметры гофрировки плоскостей CuO_2 , BaO и T_c — в табл. 3. Атомы Eu занимают позицию $1d$, атомы Ba — $2h$, присутствия Eu в позиции $2h$ не обнаружено. Атомы Al частично замещают Cu в позиции $1a$. Избыточная валентность Al приводит к увеличению концентрации кислорода, разупорядочению в цепочках CuO и к тетрагональной симметрии кристалла. Особенно велико влияние Al на параметр гофрировки слоя CuO_2 , он близок к значению, соответствующему непроводящему Y123; в то же время расстояния Cu(1)—O(1) и Cu(2)—O(1) близки к значениям, характерным для сверхпроводящего Y123.

Для оценки концентрации подвижных дырок p_{sh} по структурным данным использован метод СВУ [2–3]. Зависимость критической температуры от концентрации, рассчитанной как разность СВУ для атомов плоскости CuO_2 , показана на рисунке. Там же приведены результаты обработки структурных данных, опубликованных ранее, для соединений Eu и Y123 в широком интервале температур и состава [12–18]. Как видно из рисунка, с уменьшением концентрации дырок T_c падает и при концентрации 0.025 дырок на атом меди T_c обращается в нуль. Для исследованного кристалла Eu123/Al концентрация p_{sh} , определенная методом СВУ, соответствует на рисунке экспериментальной T_c при учете дефектности редкоземельной подрешетки (заселенность пози-

Таблица 1. Заселенность позиций решетки (S.o.f.), координаты атомов, анизотропные тепловые факторы (погрешности даны в скобках)

| | | S.o.f. | x | y | z | B ₁₁ | B ₂₂ | B ₃₃ (Å ²) |
|-------|----|---------|-----|-----|-----------|-----------------|-----------------|-----------------------------------|
| Eu | 1d | 0.99(1) | 0.5 | 0.5 | 0.5 | 0.56(3) | 0.56 | 1.81(4) |
| Ba | 2h | 1.00 | 0.5 | 0.5 | 0.1895(1) | 1.19(3) | 1.19 | 2.03(5) |
| Cu(1) | 1a | 0.62(3) | 0 | 0 | 0 | 2.1(1) | 2.1 | 1.8(3) |
| Al | 1a | 0.38(3) | 0 | 0 | 0 | 2.1(2) | 2.1 | 1.8(3) |
| Cu(2) | 2g | 1.00 | 0 | 0 | 0.3560(3) | 0.51(5) | 0.51 | 1.7(1) |
| O(1) | 2g | 1.00 | 0 | 0 | 0.159(2) | 5.9(15) | 5.9 | 1.9(10) |
| O(2) | 4i | 1.00 | 0.5 | 0 | 0.374(1) | 0.8(4) | 0.8 | 2.4(5) |
| O(4) | 2f | 0.36(8) | 0 | 0.5 | 0 | 3.0(27) | 1.3(18) | 1.0(14) |

Таблица 2. Характерные межатомные расстояния (Å) для соединений EuBa₂Cu_{3-x}Al_xO_{7-δ}

| | | P4/mmm ($x = 0.38$) | Pmmm ($x = 0$) ^[15] |
|----------|----------|-----------------------|----------------------------------|
| Eu | — O(2) | $8 \times 2.446(10)$ | 2.509 |
| | — O(3) | | 2.408 |
| Ba | — O(1) | $4 \times 2.780(4)$ | 2.749 |
| | — O(2) | | 2.898 |
| Ba | — O(3) | $4 \times 2.909(12)$ | 2.975 |
| | — O(4,5) | | 2.886 |
| Cu(1),Al | — O(1) | $2 \times 1.865(28)$ | 1.850 |
| Cu(1),Al | — O(4) | $2 \times 1.949(10)$ | 1.919 |
| Cu(1),Al | — O(5) | | 1.949 |
| Cu(2) | — O(1) | $1 \times 2.302(28)$ | 2.259 |
| Cu(2) | — O(2) | $4 \times 1.961(2)$ | 1.926 |
| Cu(2) | — O(3) | | 1.971 |
| Cu(1) | — Cu(2) | 3.372(5) | 3.489 |
| Cu(2) | — Cu(2) | 4.167(3) | 4.109 |
| Cu(2) | — Eu | 3.232(2) | 3.244 |

ции 1d атомами Eu равна 0.98). Влияние BaO плоскости заметно меньше.

Таким образом, показано, что при низких значениях T_c , связанных с вхождением Al в структуру цепочек CuO 1:2:3 материалов, критическая температура существенно зависит от дефектности редкоземельной подрешетки.

Таблица 3. Межатомные расстояния Cu–O(1) (\AA), параметры гофрировки ΔZ (\AA) для Cu(2)–O и Ba–O плоскостей в $\text{RBa}_2\text{Cu}_3-\alpha\text{Al}_x\text{O}_{7-\delta}$ соединениях

| <i>R</i> | <i>x</i> | Cu(1)–O(1) | Cu(2)–O(1) | $\Delta Z_{\text{Cu}(2)-\text{O}(2,3)}$ | $\Delta Z_{\text{Ba}-\text{O}(1)}$ | $7 - \delta$ | <i>T_c</i> , K |
|----------|----------|------------|------------|---|------------------------------------|--------------|--------------------------|
| Y [16] | 0 | 1.794(2) | 2.469(2) | 0.217(2) | 9.513(5) | 6.06 | 0 |
| Y | 0 | 1.851(3) | 2.297(3) | 0.271(3) | 0.299(2) | 6.91 | 95 |
| Y [18] | 0 | 1.853(4) | 2.292(4) | 0.271(5) | 0.287(4) | 6.85 | 92 |
| | 0.10 | 1.821(4) | 2.334(4) | 0.231(5) | 0.335(4) | 6.89 | 77 |
| | 0.175 | 1.829(4) | 2.344(4) | 0.228(5) | 0.346(4) | 6.88 | 71 |
| | 0.22 | 1.827(4) | 2.348(4) | 0.225(5) | 0.350(4) | 6.86 | 49 |
| Y [7] | 0.11 | 1.845(17) | 2.352(16) | 0.245(37) | 0.327(28) | 7.0 | 82 |
| | 0.22 | 1.817(18) | 2.388(17) | 0.246(10) | 0.410(21) | 6.4 | < 4.2 |
| Eu | 0.38 | 1.866(22) | 2.301(22) | 0.211(24) | 0.357(23) | 6.73 | 13 |
| Eu [15] | 0 | 1.850(8) | 2.259(8) | 0.293(7) | 0.277(8) | 7.0 | 90 |

Список литературы

- [1] Tokura Y., Torrance J.B., Huang T.C., Nazzal A.I. // Phys. Rev. 1988. V. B38. P. 7156–7159.
- [2] De Leeuw D.M., Groen W.A., Feiner L.F., Havinga E.E. // Physica. 1990. V. C166. N 1. P. 133–139.
- [3] Thallon J.L. // Physica. 1991. V. C185–189. N 1. P. 885–886.
- [4] Jin S., Tiefel T.H., Kammlott G.W., Fastnacht R.A., Graebner J.E. // Physica. 1991. V. C173. N 1. P. 73–79.
- [5] Guillaume M., Allenspach P., Mesot J., Roessli B., Staub U., Fischer P., Furrer A. // Z. Phys. 1993. V. B90. N 1. P. 11–17.
- [6] Miceli P.F., Tarascon J.M., Greene L.H., Barboux B., Giroud M., Newman D.A., Rhyne J.J., Schneemayer L.F., Waszcak L.W. // Phys. Rev. 1988. V. B38. N 8. P. 9209–9215.
- [7] Siegrist T., Schneemeyer L.F., Waszcak J.V., Singh N.P., Opila R.L., Batlogg B., Rupp L.W., Murphy D.W. // Phys. Rev. 1987. V. B36. N 10. P. 8365–8368.
- [8] Головенчук Е.И., Морозов Н.В., Рубимов С.С., Санина В.А., Сапожникова Л.М., Сорокин Л.М., Сырников Р.Р., Шеглов М.П. // Сверхпроводимость. Физ., хим., техн. Т. 3. В. 3. С. 810–818.
- [9] Голощапов С.И., Картенко Н.Ф., Конников С.Г., Усов О.А., Носов Ю.Г., Осинов В.Н. // Письма ЖТФ. 1993. Т. 19. В. 4. С. 5–8.
- [10] Usov O.A., Kuzmin A.M., Rozhdestvenskaya I.V., Fundamenskii V.S. // Abstr. VIth Eur. Crystallogr. Meet. (ECM-6), Spain, Barcelona. 1980. P. 150.
- [11] International tables for X-Ray Crystallography // Birmingham: Kynoch Press. (Present distributor D. Reidel, Dordrecht). V. IV. 1974.
- [12] Jorgensen J.D., Veal B.W., Paulikas A.P., Nowicki L.J., Grabtree G.W., Claus H., Kwok W.K. // Phys. Rev. 1990. V. B41. N 2. P. 1863–1877.
- [13] Usov O.A., Kartenko N.F., Rozhdestvenskaya I.V., Sapozhnikova L.S., Veinger A.I., Goloschapov S.I. // Zeit. Krist. 1993. V. 205. Pt II. P. 285–286.
- [14] Brown I.D., Altermatt D. // Acta Cryst. 1985. V. B41. N 1. P. 244–247.
- [15] Asano H., Takita K., Katoh H., Akinaga A., Ishigaki T., Nishino M., Masuda K. // Jap. J. Appl. Phys. 1987. V. 26. N 5. P. 1410–1412.
- [16] Beyers R., Shaw T.M. // Solid State Phys. 1989. V. 42. P. 135–211.
- [17] Cava R.J., Hewat A.W., Hewat E.A., Batlogg B., Marezio M., Rabe K.M., Krajewski J.J., Peck W.F., Rupp L.W. // Physica. 1990. V. C165. N 2. P. 419–433.
- [18] Eriksson S.-G., Johansson L.-G., Strom C., Berastegui P., Borjesson L., Kall M., Kakihana M. // Physica. 1991. V. C185–189. N 2. P. 893–894.

Физико-технический институт
им. А.Ф.Иоффе РАН
С.-Петербург

Поступило в Редакцию
25 июня 1993 г.